

## 複数個の任意形状孔を有する弾性板の熱応力

京都大学・工学部 冨羽義次  
 山梨大学・工学部 平島健一  
 京都大学・大学院・本田洋

## 1. 緒言

定常熱流のもとで、周縁が熱絶縁された单一の内孔、構内孔あるいは任意形状の孔を有する無限弾性板内の熱応力状態の解析は、すでに多くの研究者によってなされてゐる。また、複数個の内孔あるいは球と有する場合についても幾つかの研究が発表されてゐる。

ここでは、一般的な場合として、等方性の無限弾性板内に複数個の任意形状孔が存在するような多連結領域問題を対象として、定常熱流のもとで発生する孔周縁応力をつけて、複素変数法と選点法と組み合せて理論的に求めたものである。

## 2. 解法の概要

無限板内の单一の任意形状孔の外部領域と $\zeta$ -平面上の単位内外に写像する関数とそのようく仮定する。

$$Z = \omega(\zeta) = d_0 \zeta + \sum_{n=1}^{\infty} (d_n + i\beta_n) \zeta^{-n} \quad (1)$$

$d_0, d_n, \beta_n$  は孔形状によつて決まる実定数であり、 $n$  は正の任意の整数である。

いま、式(1)によつて定義された孔を持つ等方性板に無限遠比して充分離れた同一様の熱流が作用した場合に板内に生じる熱応力は二つの複素応力関数  $\Psi(Z)$  および  $\Psi'(Z)$  によつて求められ、これらの関数は次式で与えられる。

$$\left. \begin{aligned} \Psi(Z) &= g_0(Z) + g_1(Z) = A \ln Z + \sum_{m=1}^{\infty} A_m Z^{-m} \\ \Psi'(Z) &= A \ln Z - \bar{g}_1(1/Z) - \frac{\bar{w}(1/Z)}{w'(Z)} [g_1'(Z)] \end{aligned} \right\} \quad (2)$$

上式中の複素係数  $A$  は熱流の方向、温度、対象とする材料の弹性定数ならびに孔の dimension によつて定義された既知定数であり、また  $A_m$  ( $m=1, 2, \dots$ ) は  $A, d_0, d_n$  および  $\beta_n$  によつて求められる複素定数である。

したがつて、式(2)によつて求まる応力関数が、孔縁付近でその近傍に発生する熱応力は次式より算定される。

$$\left. \begin{aligned} \sigma_x + \sigma_y &= 4 \operatorname{Re} [\Psi(Z)] \\ \sigma_y - \sigma_x + 2i \tau_{xy} &= 2 [Z \Psi''(Z) + \Psi'(Z)] \end{aligned} \right\} \quad (3)$$

つまづく、複数個の孔が存在する場合の解析操作は、上記で求まる、たゞ一つの孔縁ならびにその周辺における応力分布を利用して選点法(point matching method)によつて、複数個の各々の孔縁での有限個の点において境界条件ならびに変位の適合条件を満足させ、解返し計算によつて連続的近似解を得る手である。その詳細については文献[3], [4]を参照されたい。ただし、ここで取扱うような熱応力問題の場合、一回目の解返し計算が終つた段階以降では、各回の応力関数  $\Psi(Z), \Psi'(Z)$  は式(2)に示した第一項(thermal dislocation)と示

す)のような複雑な構造を除く必要があるのは当然である。

### 3. 数値計算例

上述した手法を用いれば、二個の任意形孔とともに等方性板内の熱応力解析はむとより、それ以上の個数の任意形孔のある問題につけても解析が可能であるが、ここでは二個の孔とそれを複連続領域問題につけての解析結果の一例を以下に示そう。

Fig. 1 は大きさ、形状の等しい長方形孔( $b/a = 2.0$ )と  $S_0 = 4a$  の中心間隔で設けた等方性板の  $y'$  軸方向より熱流が作用した場合に、各々の孔周縁  $\Sigma_1$  および  $\Sigma_2$  に生じる熱応力  $\sigma_{\theta}$ ,  $\sigma_{\theta}'$  を図示したものである。この程度の孔の接近では單一孔の場合(図中に点線で示してある)に比し 10% 程度の応力集中の増大が認められる。

Fig. 2 は二個の等しい正方形孔と  $S_0 = 2.4a$  の中心間隔で配置した場合に、 $x'$  軸の正方向より熱流がある場合( $\beta = 0^\circ$ )の  $\sigma_{\theta}$ ,  $\sigma_{\theta}'$  の分布を展開図として示したものである。図中の実線は孔周上上の接線応力、一点鍛錆線は  $\Sigma_2$  上の接線応力である。点線で示したものは一個の正方形孔のみが存在する場合のものである。

なお、これらの計算例では選点の間隔をそれぞれの孔の中心角度で  $5^\circ$  おき、つまり、孔周上上で 72 個の点で境界条件を満足させ、Fourier 級数の項数を 30 項、繰返し回数を 7 回として求めたものである。

その他の計算例ならびに精度の検討につけては講演会当日に発表する。

### 参考文献

- 1) 例をみる, Florence, A.L., and J.N. Goodier, *Jour. of Appl. Mech.*, Dec. (1960), pp. 635~639
- 2) Hirashima, K., *Mem. Fac. Engg., Kyoto Univ.* Vol. 34 (1972), pp. 27~52
- 3) 丹羽義次, 平島健一, 土木学会論文報告集, No. 1965 (1971), pp. 9~18. 4) 平島健一, 未発表論文

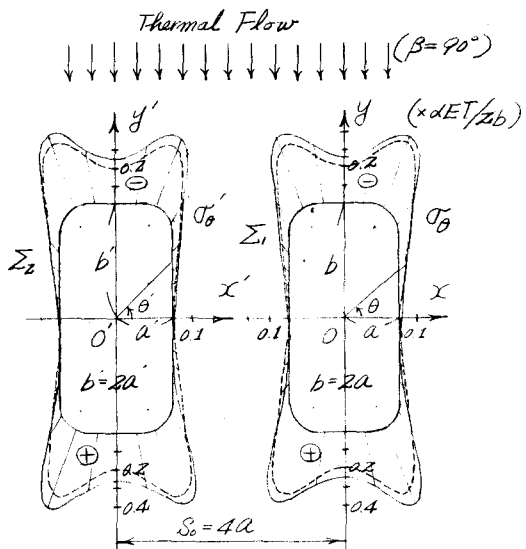


Fig. 1

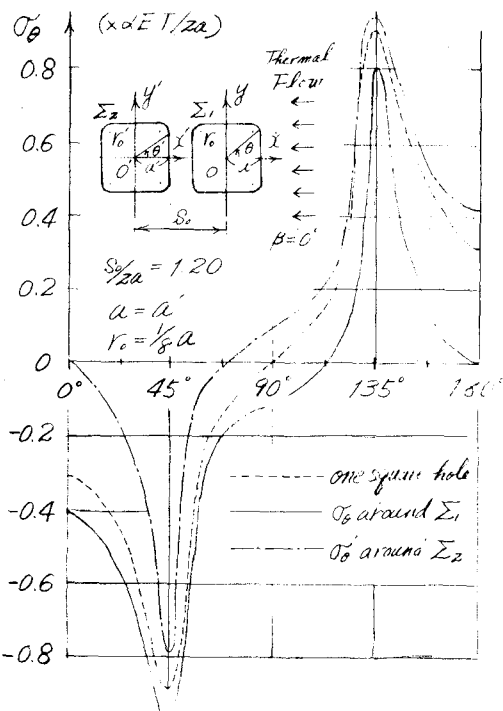


Fig. 2